

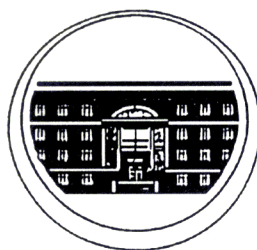
РОССИЙСКАЯ АКАДЕМИЯ НАУК  
УРАЛЬСКОЕ ОТДЕЛЕНИЕ  
ИНСТИТУТ МАТЕМАТИКИ И МЕХАНИКИ

**ТРУДЫ  
ИНСТИТУТА МАТЕМАТИКИ  
И МЕХАНИКИ**

СБОРНИК НАУЧНЫХ ТРУДОВ

**Том 6**

**№ 1, 2**



Екатеринбург  
2000

**Труды Института математики и механики.** Том 6, №1, 2.  
Екатеринбург: УрО РАН, 2000. ISBN 5-7691-1270-0.

Сборник трудов посвящен памяти академика Андрея Измайловича Субботина (1945–1997). Тематика статей сборника принадлежит к области научных интересов А.И. Субботина, в которой он много и плодотворно работал: теории оптимального управления, теории позиционных дифференциальных игр, теории обобщенных решений уравнений в частных производных первого порядка, приложения разработанных методов к различным практическим задачам. Авторами статей являются хорошо известные российские и зарубежные ученые, коллеги А.И. Субботина. Сборник предназначен для научных работников, аспирантов и студентов, специализирующихся в теории оптимального управления, в теории уравнений в частных производных и приложениях.

**Редакционная коллегия**

акад. РАН **Ю. С. Осипов** (главный редактор)  
член-корр. РАН **В. И. Бердышев** (зам. гл. редактора),  
**А. Ф. Клейменов** (отв. редактор выпуска), **А. В. Маринов** (отв. секретарь), член-корр. РАН **В. В. Васин**, **Л. П. Власов**, **М. И. Гусев**,  
акад. РАН **И. И. Еремин**, акад. РАН **А. М. Ильин**,  
акад. РАН **Н. Н. Красовский**, **В. И. Максимов**, **А. А. Махнев**,  
член-корр. РАН **Ю. Н. Субботин**

ISBN 5-7691-1270-0.

Т  $\frac{36(02)}{8П6(03) - 1998}$  ПВ=2000

© УрО РАН, Институт  
математики и механики, 2000

УДК 62.50

**ИНФОРМАЦИОННЫЕ МНОЖЕСТВА В ЗАДАЧЕ  
НАБЛЮДЕНИЯ ЗА ДВИЖЕНИЕМ САМОЛЁТА<sup>1</sup>****С. И. Кумков, В. С. Пацко, С. Г. Пятко,  
А. А. Федотов**

Рассматривается способ построения оценки сверху для информационных множеств, характеризующих положение, направление и скорость движения самолёта в горизонтальной плоскости. Информационные множества строятся в четырёхмерном фазовом пространстве на основе замеров геометрического положения с учётом известных ограничений на ошибку замеров. Предложенные алгоритмы позволяют вести вычисления в реальном масштабе времени. Приведены результаты моделирования.

**Введение**

В современной теории наблюдения и управления наряду с вероятностным подходом [1, 2] к описанию состояния динамической системы в условиях неточных замеров используется детерминированный подход, основанный на построении информационных множеств [3–7].

Под информационным множеством понимается совокупность всех состояний системы, совместимых с полученными замерами. Информационное множество можно трактовать как “обобщённое” состояние системы.

Понятие информационного множества является очень простым по своему смыслу, однако в конкретных задачах информационные множества могут быть устроены достаточно сложно [8–10].

Данная работа посвящена построению информационных множеств в задаче наблюдения за движением самолёта. Динамика движения описывается системой четвёртого порядка, соответственно информационные множества строятся в четырёхмерном пространстве. Ошибки замеров стеснены геометрическими ограничениями. Сведения об этих ограничениях наряду с описанием динамики используются для построения информационных множеств.

В исследуемой задаче при построении информационных множеств применяем элементы выпуклости. Получаем множества, разумно оценивающие истинные информационные множества сверху. Основная идея заключается в использовании сетки по двум из четырёх координат и плоских сечений в виде выпуклых многоугольников по двум другим координатам.

При построении информационных множеств в процессе поступления замеров базовыми являются операция пересечения выпуклых многоугольников и операция построения выпуклой оболочки объединения выпуклых

---

<sup>1</sup>Работа выполнена при финансовой поддержке компании “Новые информационные технологии в авиации” и Российского фонда фундаментальных исследований (грант N 00–01–00348)

многоугольников. Реализация таких операций на плоскости не требует больших затрат.

Наряду с четырёхмерным вариантом рассмотрен трёхмерный случай, где величина скорости предполагается известной и постоянной. Здесь, в частности, приведено сравнение с теоретическими результатами. Данный вариант задачи представляет и самостоятельный интерес.

Построение информационных множеств по предлагаемой в работе схеме может быть осуществлено в режиме реального времени. Возможно использование полученных результатов в алгоритмах систем управления воздушным движением.

## 1. Постановка задачи

Рассматривается задача оценивания положения, направления и скорости движения самолёта в горизонтальной плоскости. Информация о движении поступает в виде замеров координат его положения. Известны ограничения на ошибку замера. Направление  $\psi$  и скорость  $V$  движения напрямую не замеряются, полагаются неизвестными и могут быть непостоянны.

Считаем, что динамика движения описывается следующей системой дифференциальных уравнений:

$$\begin{aligned} \dot{x} &= V \sin \psi, \\ \dot{y} &= V \cos \psi, \\ \dot{\psi} &= \frac{ku}{V}, \\ \dot{V} &= w. \end{aligned} \tag{1.1}$$

Здесь  $k = \text{const} > 0$ ;  $u, w$  – неизвестные управляющие воздействия, удовлетворяющие ограничениям:  $|u| \leq 1$ ,  $\mu_1 \leq w \leq \mu_2$ ,  $\mu_1 < 0$ ,  $\mu_2 > 0$ . Полагаем, что  $V \geq \text{const} > 0$ . Угол  $\psi$  отсчитывается от оси ординат  $y$  по часовой стрелке.

Соотношение, определяющее динамику изменения скорости, вообще говоря, может быть более сложным, чем четвертое уравнение системы (1.1). Это соотношение может зависеть от большого числа параметров и не всегда точно известно. Отказываясь от сложного описания, приходим к уравнению  $\dot{V} = w$  и трактуем  $\mu_1, \mu_2$  как ограничения на возможные значения ускорения  $\dot{V}$ .

Система (1.1) часто применяется (см., например, [11–14]) для описания движения самолёта, автомобиля и других объектов с подобной динамикой.

В дискретные моменты времени поступают замеры положения на плоскости  $x, y$ . Каждому замеру сопоставляется множество неопределённости (МН) – совокупность состояний  $(x, y, \psi, V)$ , совместимых с данным замером при известных ограничениях на ошибку замера. Например, если в некоторый момент поступает замер  $(\hat{x}, \hat{y})$  и максимальная радиальная ошибка замера есть  $\sigma$ , то неизвестное нам геометрическое состояние в этот момент лежит в круге радиуса  $\sigma$  с центром в точке  $(\hat{x}, \hat{y})$ . МН такого замера представляет собой цилиндр в четырёхмерном пространстве с проекцией на плоскость  $x, y$  в виде указанного круга.

Поскольку по предположению направление  $\psi$  и скорость  $V$  напрямую не измеряются, то множество неопределённости  $H$  каждого текущего замера является цилиндрическим по координатам  $\psi, V$  и полностью представляется своей проекцией  $H^\#$  на плоскость  $x, y$ :

$$H = H^\# \times \{(\psi, V)\}. \quad (1.2)$$

Множества  $H^\#$  в дальнейшем будут предполагаться выпуклыми.

Под *информационным множеством* (ИМ) понимается совокупность всех фазовых состояний  $(x, y, \psi, V)$  системы (1.1), совместимых с имеющимися к данному моменту времени множествами неопределённости.

Требуется разработать алгоритм построения ИМ.

## 2. Схема построения информационных множеств

### 2.1. Формальное описание информационных множеств

Считаем известным начальное информационное множество  $I(t_0)$ . Оно формируется на основе предварительных сведений и по множеству неопределённости начального замера.

Пусть в некоторый момент времени  $t_*$  информационное множество  $I(t_*)$  построено, и следующий замер приходит в момент  $t^* > t_*$ . Определим *множество прогноза*  $G(t^*)$  как множество достижимости системы (1.1) в момент времени  $t^*$  из состояний, принадлежащих множеству  $I(t_*)$  в момент  $t_*$ :

$$G(t^*) = \bigcup_{\substack{u(\cdot), w(\cdot), \\ s \in I(t_*)}} \xi(t^*; t_*, s, u(\cdot), w(\cdot)).$$

Здесь  $\xi(t^*; t_*, s, u(\cdot), w(\cdot))$  – решение системы дифференциальных уравнений (1.1), доведённое до момента  $t^*$ , при начальном состоянии  $s$  в момент  $t_*$  и кусочно-непрерывных управлениях  $u(\cdot)$  и  $w(\cdot)$ .

Множество неопределённости несёт новую информацию о системе, поэтому  $I(t^*)$  определяется как пересечение множества прогноза  $G(t^*)$  и множества неопределённости  $H(t^*)$  пришедшего замера:

$$I(t^*) = G(t^*) \cap H(t^*). \quad (2.1)$$

Если в момент  $t^*$  замер отсутствует, то операция пересечения не выполняется и полагается, что текущее информационное множество  $I(t^*)$  совпадает с текущим множеством прогноза  $G(t^*)$ . Формально можно считать, что МН отсутствующего замера совпадает со всем пространством  $\{(x, y, \psi, V)\}$ .

Таким образом, в каждый текущий момент ИМ определяется начальным множеством  $I(t_0)$  и МН замеров, поступивших к этому моменту.

Система (1.1) нелинейна, множество прогноза невыпукло и имеет сложную структуру. Как следствие, достаточно сложно устроено пересечение (2.1). Для эффективного описания ИМ необходимо идти на некоторые упрощения, и мы сделаем их, используя разумным образом специфику системы.

## 2.2. Эквивалентное представление информационных множеств

Перепишем выражение (2.1), определяющее информационное множество, в удобном для нас эквивалентном виде.

Рассмотрим проекцию  $I^\diamond(t_*)$  множества  $I(t_*)$  на плоскость  $\psi, V$ . Каждой точке  $(\psi, V) \in I^\diamond(t_*)$  поставим в соответствие сечение  $I_{\psi, V}(t_*)$  информационного множества  $I(t_*)$  плоскостью  $\{\psi = \text{const}, V = \text{const}\}$ . Такие сечения будем рассматривать в проекции на плоскость  $x, y$ :

$$I_{\psi, V}(t_*) = \{(x, y) : (x, y, \psi, V) \in I(t_*)\}.$$

Информационное множество  $I(t_*)$  представим проекцией  $I^\diamond(t_*)$  на плоскость  $\psi, V$  и множествами  $I_{\psi, V}(t_*)$  на плоскости  $x, y$ :

$$I(t_*) = \bigcup_{(\psi, V) \in I^\diamond(t_*)} [I_{\psi, V}(t_*) \times (\psi, V)]. \quad (2.2)$$

Аналогично запишем множество прогноза

$$G(t^*) = \bigcup_{(\bar{\psi}, \bar{V}) \in G^\diamond(t^*)} [G_{\bar{\psi}, \bar{V}}(t^*) \times (\bar{\psi}, \bar{V})]. \quad (2.3)$$

С учётом (1.2), (2.3) формулу (2.1) можно переписать следующим образом:

$$I(t^*) = \bigcup_{(\bar{\psi}, \bar{V}) \in G^\diamond(t^*)} [(G_{\bar{\psi}, \bar{V}}(t^*) \cap H^\#(t^*)) \times (\bar{\psi}, \bar{V})]. \quad (2.4)$$

Выражение (2.4) записано в таком же виде, что и (2.2). Это следует из того, что

$$I_{\bar{\psi}, \bar{V}}(t^*) = G_{\bar{\psi}, \bar{V}}(t^*) \cap H^\#(t^*),$$

$$I^\diamond(t^*) = \{(\bar{\psi}, \bar{V}) \in G^\diamond(t^*) : G_{\bar{\psi}, \bar{V}}(t^*) \cap H^\#(t^*) \neq \emptyset\}.$$

Представление множеств  $I(t_*)$ ,  $G(t^*)$ ,  $I(t^*)$  в виде (2.2), (2.3), (2.4) позволяет в дальнейшем перейти к сетке на плоскости  $\psi, V$  и рассматривать только те сечения, которые соответствуют узлам сетки.

## 2.3. Особенности динамики движения

Покажем, что в нашей задаче множества  $G^\diamond(t^*)$  и  $G_{\bar{\psi}, \bar{V}}(t^*)$  можно вычислять непосредственно на основе множеств  $I^\diamond(t_*)$  и  $I_{\psi, V}(t_*)$ .

Зафиксируем пару управлений  $u(\cdot)$ ,  $w(\cdot)$  на интервале  $[t_*, t^*)$ . Рассмотрим множество прогноза  $G(t^*, u(\cdot), w(\cdot))$  при начальном множестве  $I(t_*)$  и управлениях  $u(\cdot)$ ,  $w(\cdot)$ . Данное множество, как и множество  $G(t^*)$ , будем представлять проекцией  $G^\diamond(t^*, u(\cdot), w(\cdot))$  на плоскость  $\psi, V$  и сечениями  $G_{\bar{\psi}, \bar{V}}(t^*, u(\cdot), w(\cdot))$ .

Специфика динамики (1.1) состоит в том, что третье и четвёртое уравнения можно интегрировать независимо от первых двух:

$$V(t) = V(t_*) + \int_{t_*}^t w(\tau) d\tau, \quad \psi(t) = \psi(t_*) + \int_{t_*}^t \frac{ku(\tau)}{V(\tau)} d\tau. \quad (2.5)$$

Следовательно,

$$G^\diamond(t^*, u(\cdot), w(\cdot)) = \left\{ \left( \psi + \int_{t_*}^{t^*} \frac{ku(t)}{V(t)} dt, V + \int_{t_*}^{t^*} w(t) dt \right) : (\psi, V) \in I^\diamond(t_*) \right\}. \quad (2.6)$$

Зафиксируем точку  $(\psi, V) \in I^\diamond(t_*)$ . Фазовые координаты  $x, y$  отсутствуют в правой части системы (1.1), поэтому интегрирование первых двух уравнений для начальных состояний из  $I_{\psi, V}(t_*)$  означает перенос на один и тот же вектор. Полагая

$$\bar{\psi} = \psi(t^*), \quad \bar{V} = V(t^*), \quad (2.7)$$

имеем

$$G_{\bar{\psi}, \bar{V}}(t^*, u(\cdot), w(\cdot)) = I_{\psi, V}(t_*) + \left( \int_{t_*}^{t^*} V(t) \sin \psi(t) dt, \int_{t_*}^{t^*} V(t) \cos \psi(t) dt \right). \quad (2.8)$$

Перебирая  $(\psi, V) \in I^\diamond(t_*)$ , получим все сечения  $G_{\bar{\psi}, \bar{V}}(t^*, u(\cdot), w(\cdot))$  множества прогноза  $G(t^*, u(\cdot), w(\cdot))$ .

Будем формально считать, что сечения  $G_{\bar{\psi}, \bar{V}}(t^*, u(\cdot), w(\cdot))$  заданы для произвольных  $(\bar{\psi}, \bar{V})$ . Если  $(\bar{\psi}, \bar{V}) \in G^\diamond(t^*, u(\cdot), w(\cdot))$ , т.е.  $(\bar{\psi}, \bar{V})$  соответствует некоторой паре  $(\psi, V) \in I^\diamond(t_*)$  в силу (2.5), (2.7), то сечение определяется формулой (2.8); иначе  $G_{\bar{\psi}, \bar{V}}(t^*, u(\cdot), w(\cdot)) = \emptyset$ .

В целом, множество  $G^\diamond(t^*)$  есть множество достижимости в силу третьего и четвертого уравнений системы (1.1) при начальном множестве  $I^\diamond(t_*)$ :

$$G^\diamond(t^*) = \bigcup_{u(\cdot), w(\cdot)} G^\diamond(t^*, u(\cdot), w(\cdot)). \quad (2.9)$$

Множества  $G_{\bar{\psi}, \bar{V}}(t^*)$  вычисляются по формуле

$$G_{\bar{\psi}, \bar{V}}(t^*) = \bigcup_{u(\cdot), w(\cdot)} G_{\bar{\psi}, \bar{V}}(t^*, u(\cdot), w(\cdot)). \quad (2.10)$$

## 2.4. Овыпукление сечений

При нахождении множеств  $G_{\bar{\psi}, \bar{v}}(t^*)$  имеем дело с объединением (2.10) множеств на плоскости  $x, y$ . Множества  $G_{\bar{\psi}, \bar{v}}(t^*)$  пересекаются затем с множеством  $H^\#(t^*)$ . Трудность состоит в том, что множества  $G_{\bar{\psi}, \bar{v}}(t^*)$  невыпуклы.

Условимся подменять множества  $G_{\bar{\psi}, \bar{v}}(t^*)$  их выпуклыми оболочками. Таким образом, одновременно с операцией (2.10) объединения множеств  $G_{\bar{\psi}, \bar{v}}(t^*, u(\cdot), w(\cdot))$ , вычисляем выпуклую оболочку. Получаем множество  $\mathbf{G}_{\bar{\psi}, \bar{v}}(t^*) = \text{conv } G_{\bar{\psi}, \bar{v}}(t^*)$ . Положим

$$\mathbf{G}(t^*) = \bigcup_{(\bar{\psi}, \bar{V}) \in G^\diamond(t^*)} [\mathbf{G}_{\bar{\psi}, \bar{V}}(t^*) \times (\bar{\psi}, \bar{V})], \quad (2.11)$$

$$\mathbf{I}(t^*) = \bigcup_{(\bar{\psi}, \bar{V}) \in G^\diamond(t^*)} [(\mathbf{G}_{\bar{\psi}, \bar{V}}(t^*) \cap H^\#(t^*)) \times (\bar{\psi}, \bar{V})]. \quad (2.12)$$

Формулы (2.11), (2.12) написаны для момента  $t^*$  в предположении о применении операции овыпукления только на промежутке  $[t_*, t^*]$ . Имеем  $G(t^*) \subset \mathbf{G}(t^*)$  и  $I(t^*) \subset \mathbf{I}(t^*)$ .

Если овыпукление проводить с начального момента  $t_0$ , то на момент  $t_*$  будем иметь  $\mathbf{I}(t_*)$  с выпуклыми сечениями  $\mathbf{I}_{\psi, v}(t_*)$ . Поэтому при нахождении множества  $\mathbf{G}_{\bar{\psi}, \bar{v}}(t^*)$  будем строить выпуклую оболочку объединения выпуклых множеств.

Далее речь пойдет о построении множеств  $\mathbf{G}$  и  $\mathbf{I}$ . Будем по-прежнему называть их множеством прогноза и информационным множеством.

## 3. Основные идеи построения информационных множеств

### 3.1. Введение дискретной схемы

При численном нахождении информационных множеств мы вынуждены использовать некоторую дискретизацию построений. Опишем основные элементы дискретизации.

Для нахождения множества  $\mathbf{I}(t^*)$  сначала получим множество прогноза  $\mathbf{G}(t^*)$ . Чтобы построить  $\mathbf{G}(t^*)$ , разбиваем промежуток времени  $[t_*, t^*]$  с постоянным шагом  $\Delta$ . Управления  $u(\cdot)$  и  $w(\cdot)$  считаем кусочно-постоянными на данном разбиении. При этом на каждом интервале  $[t_i, t_{i+1})$  разбиения управляющие воздействия  $u, w$  принимают лишь нулевые и крайние значения:  $u \in \{-1, 0, 1\}$ ,  $w \in \{\mu_1, 0, \mu_2\}$ . Выбор таких значений определяется тем, что при построении оптимальных движений, формирующих границу множества достижимости (множества прогноза), в соответствии с принципом максимума Л. С. Понтрягина, используются крайние управляющие воздействия:  $u = -1, 1$ ;  $w = \mu_1, \mu_2$ . Значение  $u = 0$  реализуется на вырожденном оптимальном движении. Значение  $w = 0$  включено ради технического удобства.

Примем  $t_1 = t_*$  и  $\mathbf{G}(t_1) = \mathbf{I}(t_*)$ . Множество прогноза  $\mathbf{G}(t_{i+1})$  строим, опираясь на множество  $\mathbf{G}(t_i)$ . Интегрируя систему (1.1), используем метод Эйлера с шагом  $\Delta$ .



Нахождение множеств  $\mathbf{G}^\diamond(t)$  и  $\mathbf{G}_{\bar{\psi}, \bar{V}}(t)$  в схеме построения ИМ, изложенной в предыдущем разделе, упрощается следующим образом.

Формула для проекции на плоскость  $\psi, V$  множества прогноза при фиксированных управляющих воздействиях  $u, w$  (аналог (2.6)) запишется на момент  $t_{i+1}$  в виде

$$\mathbf{G}^\diamond(t_{i+1}, u, w) = \left\{ \left( \psi + \frac{\Delta ku}{V}, V + \Delta w \right) : (\psi, V) \in \mathbf{G}^\diamond(t_i) \right\}. \quad (3.1)$$

Проекция на плоскость  $x, y$  сечения множества прогноза при фиксированных  $u, w$  (аналог (2.8)) теперь на момент  $t_{i+1}$  будет иметь вид

$$\mathbf{G}_{\bar{\psi}, \bar{V}}(t_{i+1}, u, w) = \mathbf{G}_{\psi, V}(t_i) + (\Delta V \sin \psi, \Delta V \cos \psi), \quad (3.2)$$

где  $\bar{\psi} = \psi + \Delta ku/V$ ,  $\bar{V} = V + \Delta w$ . Перебирая  $(\psi, V) \in \mathbf{G}^\diamond(t_i)$ , получим все сечения  $\mathbf{G}_{\bar{\psi}, \bar{V}}(t_{i+1}, u, w)$ .

Подчеркнём, что при интегрировании по методу Эйлера перенос по формуле (3.2) каждого сечения  $\mathbf{G}_{\psi, V}(t_i)$  определяется только соответствующей парой  $(\psi, V)$  и не зависит от  $u, w$ .

При построении  $\mathbf{G}^\diamond(t_{i+1})$  и  $\mathbf{G}_{\bar{\psi}, \bar{V}}(t_{i+1})$  рассматриваем лишь девять вариантов возможных пар управлений:

$$\mathbf{G}^\diamond(t_{i+1}) = \bigcup_{\substack{u \in \{-1, 0, 1\}, \\ w \in \{\mu_1, 0, \mu_2\}}} \mathbf{G}^\diamond(t_{i+1}, u, w), \quad (3.3)$$

$$\mathbf{G}_{\bar{\psi}, \bar{V}}(t_{i+1}) = \text{conv} \bigcup_{\substack{u \in \{-1, 0, 1\}, \\ w \in \{\mu_1, 0, \mu_2\}}} \mathbf{G}_{\bar{\psi}, \bar{V}}(t_{i+1}, u, w). \quad (3.4)$$

Заметим, что  $\mathbf{G}^\diamond(t_i) \subset \mathbf{G}^\diamond(t_{i+1})$ .

Множество  $\mathbf{G}^\diamond$  на плоскости  $\psi, V$  не является выпуклым и даже может быть несвязно. Поэтому трудно описать его границу. То же самое можно сказать и о множестве  $\mathbf{I}^\diamond$ . Будем использовать сетку на плоскости  $\psi, V$  с шагом  $\delta\psi$  по  $\psi$  и с шагом  $\delta V$  по  $V$ . Множества  $\mathbf{G}^\diamond$  и  $\mathbf{I}^\diamond$  будем подменять наборами узлов такой сетки.

В результате пошагового построения множеств прогноза  $\mathbf{G}(t_i)$  получаем множество  $\mathbf{G}(t^*)$ . Согласно прогнозу с замером в момент времени  $t^*$  (т.е. с множеством неопределённости  $H(t^*)$ ), находим искомое ИМ:  $\mathbf{I}(t^*) = \mathbf{G}(t^*) \cap H(t^*)$ .

### 3.2. Аппроксимация многоугольниками

На плоскости  $x, y$  работаем с выпуклыми множествами  $\mathbf{G}_{\psi, V}$ ,  $\mathbf{I}_{\psi, V}$  и  $H^\#$ . Для их представления будем использовать, применяя аппроксимацию сверху, выпуклые многоугольники. Будем брать на плоскости  $x, y$  фиксированный набор векторов (сетка нормалей), на которых будут заданы значения опорной функции многоугольников.

Опишем работу с выпуклыми многоугольниками, заданными на фиксированной сетке векторов. Зафиксируем набор из  $m$  единичных векторов

$(n_1, \dots, n_m)$  на плоскости  $x, y$ , расположенных равномерно по углу (с отсчетом от оси  $y$  по часовой стрелке):

$$n_i = (n_{i_x}, n_{i_y}) = \left( \sin \left( 2\pi \frac{i-1}{m} \right), \cos \left( 2\pi \frac{i-1}{m} \right) \right). \quad (3.5)$$

Для любого ограниченного замкнутого множества  $D$  на плоскости в качестве аппроксимирующего его сверху будем брать многоугольник  $D_m$ , определяемый наборами значений опорной функции множества  $D$  на векторах (3.5):  $D_m = \{(x, y): (xn_{i_x} + yn_{i_y}) \leq \rho_i, i = 1, \dots, m\}$ .

При  $m = 4$  имеем 4 вектора, и аппроксимирующий многоугольник есть прямоугольник со сторонами, параллельными осям координат.

### 3.3. Построение выпуклой оболочки объединения

Пусть многоугольники  $A$  и  $B$  заданы наборами  $(\rho_1^A, \dots, \rho_m^A)$  и  $(\rho_1^B, \dots, \rho_m^B)$  значений опорных функций на фиксированной сетке из  $m$  векторов (3.5). Выпуклая оболочка  $\text{conv}(A \cup B)$  объединения таких многоугольников есть многоугольник, векторы нормалей которого могут не принадлежать сетке  $(n_1, \dots, n_m)$ . Будем аппроксимировать выпуклую оболочку  $\text{conv}(A \cup B)$  многоугольником  $C$ , который определяется набором  $(\rho_1^C, \dots, \rho_m^C)$ :

$$\rho_i^C = \max(\rho_i^A, \rho_i^B), \quad i = 1, \dots, m.$$

Многоугольник  $C$  является минимальным по включению среди многоугольников, содержащих объединение  $A \cup B$  и заданных значениями опорной функции на векторах  $(n_1, \dots, n_m)$ .

Следующая формула определяет оценку сверху возникающей при этом относительной погрешности:

$$\frac{h(C, \text{conv}(A \cup B))}{\text{diam}(\text{conv}(A \cup B))} \leq \frac{1}{2} \text{tg} \left( \frac{\pi}{m} \right).$$

На рис. 1 буквой  $d$  обозначен диаметр множества  $\text{conv}(A \cup B)$ , буквой  $h$  – хаусдорфово расстояние между  $C$  и  $\text{conv}(A \cup B)$ .

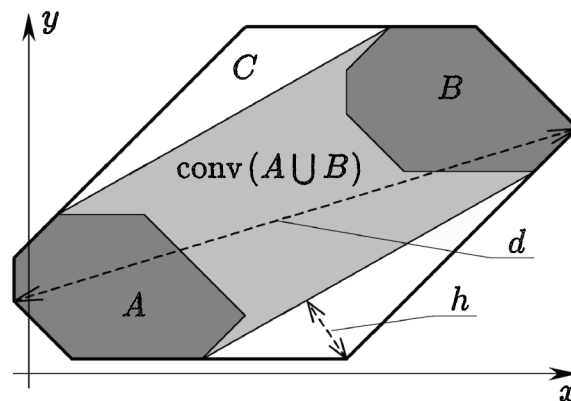


Рис. 1. Погрешность овыпукления при  $m = 8$ .

### 3.4. Операция пересечения

Пересечение многоугольников  $A$  и  $B$ , заданных наборами  $(\rho_1^A, \dots, \rho_m^A)$  и  $(\rho_1^B, \dots, \rho_m^B)$  значений опорных функций, осуществляется путём вычисления набора  $(\rho_1, \dots, \rho_m)$ :

$$\rho_i = \min(\rho_i^A, \rho_i^B), \quad i = 1, \dots, m,$$

который определяет многоугольник  $C = A \cap B$  как пересечение полуплоскостей  $(xn_{i_x} + yn_{i_y}) \leq \rho_i, i = 1, \dots, m$ .

Полученный набор  $(\rho_1, \dots, \rho_m)$  не обязательно совпадает с набором  $(\rho_1^C, \dots, \rho_m^C)$  значений опорной функции многоугольника  $C$ , вычисленных на заданной фиксированной сетке векторов (3.5). Кроме того, пересечение может быть пусто. Поэтому производится дополнительная обработка набора  $(\rho_1, \dots, \rho_m)$ , состоящая из двух шагов. В результате получаем искомый набор  $(\rho_1^C, \dots, \rho_m^C)$  значений опорной функции многоугольника  $C$  на заданной фиксированной сетке векторов, либо выясняем, что результат пересечения есть пустое множество.

*Шаг 1.* Рассматриваем набор  $(\rho_1, \dots, \rho_m)$  как замкнутый список, в котором  $\rho_1$  и  $\rho_m$  считаются соседними. Вычёркиваем из этого списка все элементы  $\rho_i$ , не совпадающие с соответствующими значениями  $\rho_i^C$  опорной функции множества  $C = A \cap B$ . При этом используем следующий критерий.

Пусть  $\rho_i, \rho_j$  и  $\rho_k$  – три последовательных элемента из рассматриваемого списка. Тогда, если

$$\frac{n_{k_y}(\rho_i n_{j_x} - \rho_j n_{i_x}) + n_{k_x}(\rho_j n_{i_y} - \rho_i n_{j_y})}{n_{i_y} n_{j_x} - n_{i_x} n_{j_y}} > \rho_k, \quad (3.6)$$

то вычёркиваем средний элемент  $\rho_j$ .

Так продолжаем до получения набора, в котором условие (3.6) не выполняется для любой тройки соседних векторов.

Если после очередного вычёркивания некоторого элемента  $\rho_j$  угол между соседними векторами  $n_i$  и  $n_k$  стал больше или равен  $\pi$ , т.е. если выполнено условие

$$(n_{i_y} n_{k_x} - n_{i_x} n_{k_y}) \leq 0, \quad (3.7)$$

то результат пересечения есть пустое множество, и выполнение операции пересечения завершается. При практической реализации данного алгоритма условие (3.7) необходимо проверять с некоторым запасом.

После первого шага получаем список  $\{\rho_i^C\}$ , каждому элементу которого соответствует сторона многоугольника  $C$ .

*Шаг 2.* Список  $\{\rho_i^C\}$  дополняем недостающими значениями опорной функции на фиксированной сетке  $(n_1, \dots, n_m)$  векторов и получаем искомое представление множества  $C = A \cap B$  в виде набора  $(\rho_1^C, \dots, \rho_m^C)$ . При этом используем следующий способ дополнения.

Пусть между соседними  $\rho_i$  и  $\rho_k$  имеются недостающие значения опорной функции. Вычисляем точку  $(x, y)$  пересечения соответствующих соседних сторон. Недостающие промежуточные значения опорной функции далее считаем по формуле

$$\rho_j = xn_{j_x} + yn_{j_y}.$$

В случае  $m = 4$  дополнительная обработка (*Шаг 1*, *Шаг 2*) набора  $(\rho_1, \dots, \rho_4)$  сводится лишь к проверке невырожденности пересечения множеств  $A$  и  $B$  по одновременному выполнению двух неравенств  $(\rho_1 + \rho_3) > 0$  и  $(\rho_2 + \rho_4) > 0$ .

#### 4. Практическое построение информационных множеств

В соответствии со схемой из раздела 2 построение ИМ на промежутке времени  $[t_*, t^*]$  осуществляется путём расчета множества прогноза на момент времени  $t^*$  и последующим учётом множества неопределённости, поступившего в этот момент. Опишем реализацию этих операций в соответствии с допущениями, принятыми в разделе 3.

##### 4.1. Построение множества прогноза

Для построения множества  $\mathbf{G}(t_{i+1})$  на основе множества  $\mathbf{G}(t_i)$  используем формулы (3.1)–(3.4).

Сложность построений, связанных с использованием сетки на плоскости  $\psi, V$ , заключается в том, что вновь возникающие узлы  $(\bar{\psi}, \bar{V})$  множеств  $\mathbf{G}^\diamond(t_{i+1}, u, w)$  не совпадают с узлами зафиксированной (исходной) сетки на плоскости  $\psi, V$ . Поэтому множества  $\mathbf{G}(t_{i+1}, u, w)$  строятся приближенно, с привязкой к исходной сетке.

Сначала строим множество пассивного прогноза  $\mathbf{G}(t_{i+1}, 0, 0)$ . Набор узлов  $(\bar{\psi}, \bar{V})$  этого множества совпадает с набором узлов множества  $\mathbf{G}(t_i)$ . Отвечающие узлам  $(\bar{\psi}, \bar{V})$  многоугольники  $\mathbf{G}_{\bar{\psi}, \bar{V}}(t_{i+1}, 0, 0)$  на плоскости  $x, y$  вычисляются по формуле (3.2): путём переноса многоугольников  $\mathbf{G}_{\psi, V}(t_i)$  на векторы  $(\Delta V \sin \psi, \Delta V \cos \psi)$ . Для многоугольника, заданного набором  $(\rho_1, \dots, \rho_m)$  значений опорной функции, такой перенос означает изменение каждой компоненты  $\rho_i$  на величину  $n_{i_x} \Delta V \sin \psi + n_{i_y} \Delta V \cos \psi$ .

Для построения узлов множества  $\mathbf{G}(t_{i+1}, u, w)$  при  $(u, w) \neq (0, 0)$  берём за основу узлы множества  $\mathbf{G}(t_{i+1}, 0, 0)$  (они совпадают с узлами исходной сетки) и в соответствии с (3.1) смещаем каждый узел  $(\psi, V)$  на вектор  $(\Delta k u / V, \Delta w)$ . Для новых узлов  $(\bar{\psi}, \bar{V}) \in \mathbf{G}^\diamond(t_{i+1}, u, w)$  в силу (3.2) имеем  $\mathbf{G}_{\bar{\psi}, \bar{V}}(t_{i+1}, u, w) = \mathbf{G}_{\psi, V}(t_{i+1}, 0, 0)$ , т.е. берём уже полученные сечения множества  $\mathbf{G}(t_{i+1}, 0, 0)$ .

По координате  $\psi$  используем фиксированное разбиение интервала  $[0, 2\pi]$  с шагом  $\delta\psi$ . Смещение узла сетки на величину  $\Delta k / V$  по  $\psi$  (влево при  $u = -1$  и вправо при  $u = 1$ ) может быть не кратно  $\delta\psi$ . Чтобы добиться кратности, берём смещение на величину  $(\lceil (\Delta k / V) / \delta\psi \rceil + 1) \delta\psi$ , которая оценивает сверху величину  $\Delta k / V$  и кратна  $\delta\psi$  (квадратные скобки означают целую часть). Т. е. имеем перенос на

$$\left\lceil \frac{(\Delta k / V)}{\delta\psi} \right\rceil + 1 \quad (4.1)$$

узлов влево при  $u = -1$  и вправо при  $u = 1$ .

По координате  $V$  также используем фиксированное разбиение с шагом  $\delta V$ . Величина смещения  $\Delta|w|$  также может быть не кратна  $\delta V$ . Чтобы

добиться кратности, берём перенос на

$$\left\lceil \frac{\Delta|w|}{\delta V} \right\rceil + 1 \quad (4.2)$$

узлов в отрицательном направлении при  $w = \mu_1$  и в положительном направлении при  $w = \mu_2$ .

Таким образом, для построения множества  $\mathbf{G}(t_{i+1})$  применяем исходную сетку на плоскости  $\psi, V$ . Множество  $\mathbf{G}^\diamond(t_{i+1})$  находим по формуле (3.3). При использовании 9 пар управлений в каждый узел может попасть до 9 многоугольников. Для каждого узла  $(\bar{\psi}, \bar{V})$  сетки строим выпуклую оболочку объединения многоугольников  $\mathbf{G}_{\bar{\psi}, \bar{V}}(t_{i+1}, u, w)$ , попавших в этот узел. В результате каждому узлу будет соответствовать свой многоугольник, который и принимаем за  $\mathbf{G}_{\bar{\psi}, \bar{V}}(t_{i+1})$  (см. (3.4)). Множества  $\mathbf{G}^\diamond(t_{i+1})$ ,  $\mathbf{G}_{\bar{\psi}, \bar{V}}(t_{i+1})$  определяют множество прогноза  $\mathbf{G}(t_{i+1})$ .

Следует отметить, что неопределённость по фазовой координате  $V$  может быть достаточно большой, особенно в начальный момент времени. В таком случае шаг  $\delta V$  сетки ИМ по скорости трудно заранее ограничить сверху. Следовательно, величина  $\Delta|w|/\delta V$  может быть достаточно малой ( $\Delta|w|/\delta V \ll 1$ ). Несмотря на это, согласно формуле (4.2), будет осуществлен перенос на один шаг сетки. Таким образом, сдвиги узлов по  $V$  могут быть не согласованны с динамикой системы (1.1). Поэтому при построении  $\mathbf{G}(t_{i+1})$  учёт динамики по  $V$  за счёт сдвигов (4.2) будем осуществлять не на каждом шаге по времени, а лишь через заданное количество шагов. Символом  $q_1$  ( $q_2$ ) обозначим количество шагов, через которые будем производить сдвиг в отрицательном (положительном) направлении. В качестве чисел  $q_1, q_2$  возьмём максимальные натуральные числа, удовлетворяющие соотношению

$$\left\lceil \frac{\Delta|\mu_i|}{\delta V} \right\rceil = \left\lceil \frac{q_i \Delta|\mu_i|}{\delta V} \right\rceil, \quad i = 1, 2. \quad (4.3)$$

Это позволяет насколько возможно согласовать сдвиги (4.2) узлов по  $V$  с динамикой системы (1.1).

#### 4.2. Учет множества неопределённости замера

Для каждого пришедшего в момент  $t^*$  замера формируется его МН. Это формирование производится в соответствии с типом источника информации и его характеристиками точности. Если в момент  $t^*$  замеры положения самолёта поступили сразу от нескольких источников, то формируется единое множество неопределённости  $H(t^*)$  как пересечение МН этих замеров.

Для построения ИМ в момент времени  $t^*$  пересекаем сечения  $\mathbf{G}_{\psi, V}(t^*)$  множества прогноза  $\mathbf{G}(t^*)$  с множеством  $H^\#(t^*)$ .

Узлы  $(\psi, V)$  множества  $\mathbf{G}(t^*)$  с непустыми пересечениями и будут составлять множество  $\mathbf{I}^\diamond(t^*)$  – набор узлов информационного множества  $\mathbf{I}(t^*)$ .

### 4.3. Регулирование числа узлов сетки на плоскости $\psi, V$

При практическом построении множества прогноза и ИМ работаем с ограниченным количеством узлов  $(\psi, V)$ . Для фазовой координаты  $\psi$  это легко решаемая проблема, поскольку множество  $[0, 2\pi]$  ограничено. Для  $V$  число узлов приходится регулировать дополнительно. Кроме того, неопределённость по фазовой координате  $V$  заранее может быть оценена лишь грубо, т.е. начальное ИМ задаётся с большим интервалом по  $V$  и большим шагом разбиения  $\delta V$ .

Рассмотрим подробнее работу с сеткой узлов по  $V$ . С течением времени количество узлов по  $V$  может меняться. Так, при отсутствии замеров от источников информации интервал неопределённости по  $V$  растёт по времени, а при поступлении замеров часть узлов высекается и интервал неопределённости уменьшается. В первом случае предусмотрено прореживание числа узлов с увеличением шага разбиения  $\delta V$ . Во втором случае сетка по  $V$  учащается с уменьшением шага  $\delta V$ . В обоих случаях сетка остаётся равномерной, как принято в разделе 3.

Пусть  $N_V$  – ограничение на число узлов по  $V$ . Настройка сетки под текущий интервал неопределённости по скорости осуществляется следующим образом. Число узлов по  $V$  поддерживается в интервале от  $\lceil (N_V + 1)/2 \rceil$  до  $N_V$ . Каждый раз после построения очередного ИМ проверяется выполнение данного условия. Если число узлов стало слишком большим, т.е. больше, чем  $N_V$ , то удаляем каждый второй узел. Тем самым сокращаем число узлов до допустимого количества и увеличиваем шаг  $\delta V$  сетки по скорости вдвое. Если же число узлов стало слишком малым, т.е. меньше, чем  $\lceil (N_V + 1)/2 \rceil$ , то добавляем промежуточные узлы, аналогично достигая допустимого количества узлов, и уменьшаем шаг  $\delta V$  вдвое.

Рассмотренная процедура позволяет более точно отслеживать фазовую координату  $V$  при уменьшении интервала неопределённости по скорости.

Основной проблемой при реализации указанных процедур подстройки сетки по  $V$  является построение на вновь вводимых узлах сетки по  $V$  соответствующих сеток по  $\psi$  и соответствующих сечений ИМ.

Опишем один вариант построения сечений на новых узлах сетки по скорости. Пусть текущее число узлов в данной сетке стало меньше порога  $\lceil (N_V + 1)/2 \rceil$ . Тогда добавляются два новых крайних узла  $V_{\min} - \delta V$  и  $V_{\max} + \delta V$  с текущей величиной дискрета  $\delta V$ . На эти два новых крайних узла дублируются узлы по  $\psi$  и наборы сечений ИМ, имеющиеся на прежних крайних узлах  $V_{\min}$  и  $V_{\max}$  соответственно. Если увеличенное таким образом число узлов начинает превышать порог  $\lceil (N_V + 1)/2 \rceil$ , то процедура останавливается. Заметим, что при этом интервал по скорости подстроен, а дискрет  $\delta V$  сохраняется.

Если после указанного увеличения числа узлов на 2 общее число узлов все ещё меньше порога, то вводятся промежуточные узлы по  $V$  между имеющимися, а дискрет  $\delta V$  уменьшается вдвое. При этом на каждом вновь введенном промежуточном узле  $V$  соответствующая сетка узлов по  $\psi$  строится объединением сеток, отвечающим узлам, соседним с  $V$ . Соответствующий набор сечений ИМ на этих узлах по  $\psi$  конструируется с помощью быстрой процедуры объединения сечений. Процесс дробления сетки заканчивается, когда число узлов сетки по  $V$  первый раз превысит порог  $\lceil (N_V + 1)/2 \rceil$ .

## 5. Результаты моделирования

### 5.1. Исходные данные для моделирования

Построение ИМ моделировалось на участке времени 120 с. Начальное информационное множество  $I(0)$  представлялось в виде сетки по  $\psi$  и  $V$ , на узлах которой задавались многоугольники, совпадающие с начальным множеством неопределённости  $H^\#(0)$ . Начальная неопределённость по  $\psi$  была взята от 0 до  $2\pi$  рад, а по  $V$  – от 180 до 360 м/с. Моделировалось движение истинной точки. Относительно неё с интервалом 20 с случайным образом формировались замеры. Замеры принимались в качестве центров множеств неопределённости в форме квадратов со стороной 400 м, ориентированных по осям  $x, y$ . Соблюдалось условие принадлежности истинной точки множеству неопределённости.

Кроме указанных, использовались следующие исходные данные:

|                                     |  |
|-------------------------------------|--|
| $V(0) = 200 \text{ м/с}$            | – начальная скорость движения истинной точки;  |
| $k = 6 \text{ м/с}^2$               | – параметр системы дифференциальных уравнений (1.1), максимальное боковое ускорение;   |
| $\mu_1 = -1 \text{ м/с}^2$          | – минимальное значение продольного ускорения ВС;   |
| $\mu_2 = 3 \text{ м/с}^2$           | – максимальное значение продольного ускорения ВС;  |
| $\Delta = 1 \text{ с}$              | – шаг временной сетки построения ИМ;   |
| $N_\psi = 600$                      | – ограничение на число узлов сетки ИМ по $\psi$ ;  |
| $\delta\psi = 2\pi/600 \text{ рад}$ | – дискрет фиксированной сетки по $\psi$ ;  |
| $N_V = 20$                          | – ограничение на число узлов сетки ИМ по $V$ ;   |
| $\delta V = 180/11 \text{ м/с}$     | – начальный шаг сетки скорости при начальном числе узлов данной сетки 12 (здесь 180 – размах принятого начального интервала [180, 360] неопределённости по скорости, м/с). |

Траектория истинного движения (рис. 2, тонкая сплошная линия) имела прямолинейный участок на интервале 0–10 с, разворот против часовой стрелки на интервале 10–40 с и разворот по часовой стрелке на интервале 40–120 с (в обоих случаях боковое ускорение максимально). Скорость изменяется с максимальным ускорением  $w = 3 \text{ м/с}^2$  на интервале 0–30 с, с нулевым ускорением на интервале 30–40 с и с торможением  $w = -1 \text{ м/с}^2$  на интервале 40–120 с. Динамика изменения ИМ вдоль траектории движения иллюстрируется проекциями ИМ на плоскость  $x, y$  в моменты 10, 33, 53, 73, 93 и 113 с. Положения истинной точки в эти моменты, а также в моменты прихода замеров, отмечены квадратиками. Множества неопределённости изображены пунктирной линией.

В начальный момент времени проекция информационного множества  $I(0)$  на плоскость  $x, y$  совпадает с множеством  $H^\#(0)$  неопределённости замера. До появления второго замера область возможных значений  $\psi$  совпадает с интервалом  $[0, 2\pi]$ , поэтому проекция ИМ на плоскость  $x, y$  имеет кольцеобразный вид (рис. 2, начальная часть траектории).

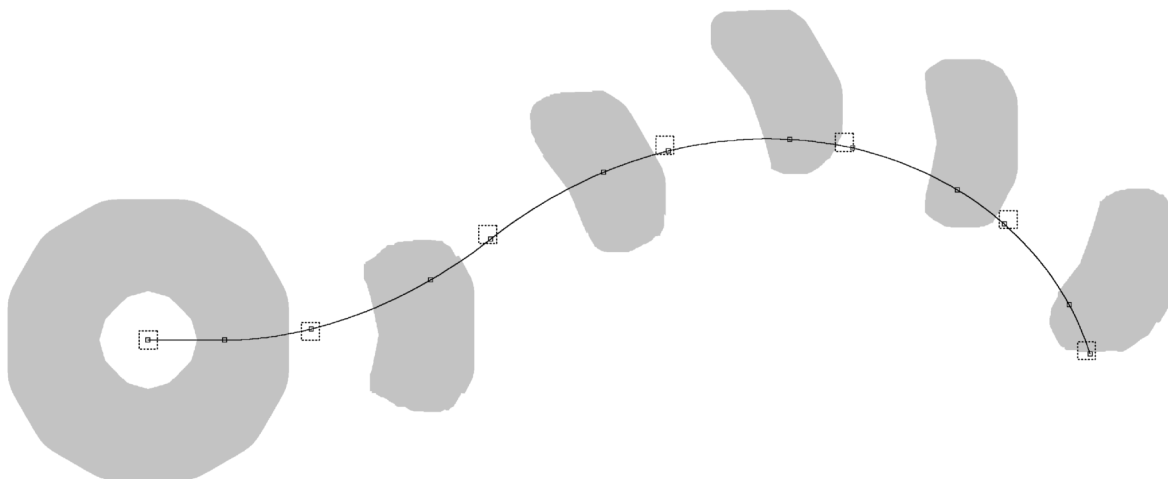


Рис. 2. Движение ИМ. Общий вид в проекции на плоскость  $x, y$ .

В данном варианте использовалось представление МН и сечений ИМ многоугольниками, заданными на фиксированной сетке из 12 векторов. Моделировались также варианты  $m = 4, 8, 16$ .

## 5.2. Структура информационного множества

Структура ИМ в проекции на плоскость  $x, y$  поясняется на рис. 3 в момент  $t = 53$  с. Здесь на фоне общей проекции ИМ (слабая заливка) выделен слой, соответствующий  $V = 278,2$  м/с (средняя заливка). Скорость данного слоя наиболее близка к истинному значению скорости 277,0 м/с в этот момент. Внутри него тёмной заливкой отмечено одно сечение ИМ для  $\psi = 1,173$  рад, содержащее истинную точку (обозначена квадратиком). Истинное значение координаты  $\psi$  в данный момент равно 1,177 рад.

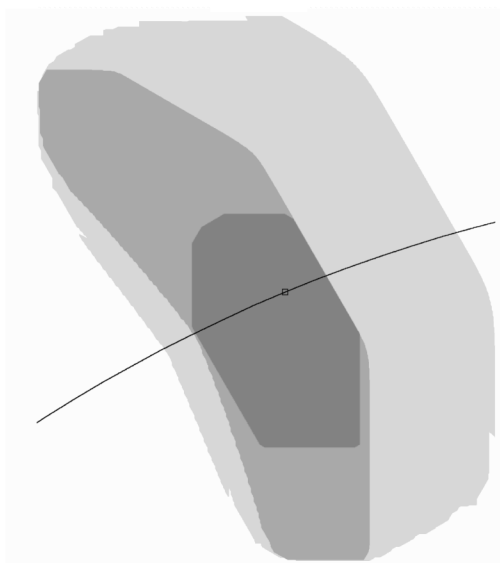


Рис. 3. Структура ИМ,  $t = 53$  с.



### 5.3. Информационные множества при разном числе нормалей в представлении сечений

Влияние количества векторов (3.5) на точность построения ИМ иллюстрируется рис. 4. Здесь приведены проекции ИМ на плоскость  $x, y$  для  $t = 79$  с при моделировании с  $m = 4$  (слабая заливка),  $m = 8$  (средняя заливка) и  $m = 16$  (тёмная заливка). Видно, что повышение быстродействия алгоритмов (за счет уменьшения числа векторов) приводит к некоторому снижению точности оценивания: размер текущего ИМ увеличивается.

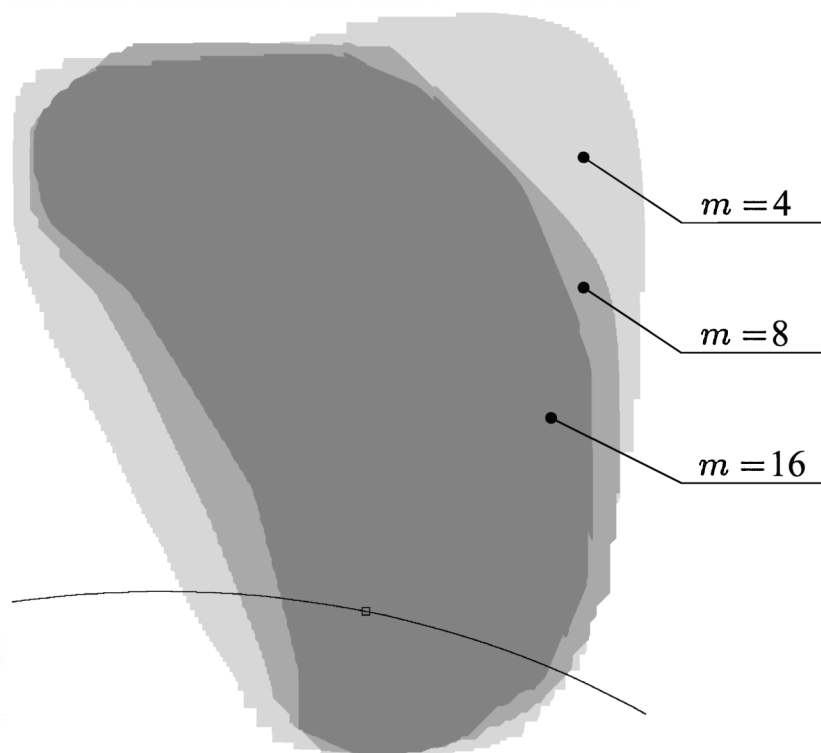


Рис. 4. Проекция ИМ на плоскость  $x, y$  для  $t = 79$  с.

### 5.4. Оценка ненаблюдаемых координат

Предложенный подход на базе информационных множеств позволяет разработать вычислительную схему оценивания всех четырёх фазовых координат. Рассмотрим динамику оценивания ненаблюдаемых координат  $\psi$  и  $V$ .

На рис. 5 показана двумерная сетка узлов на плоскости  $\psi, V$  в моменты учета МН замеров на 20, 40, 60 и 80 с. Рассматривается вариант моделирования с числом векторов  $m = 12$  и ограничением  $N_V = 40$  на число узлов по  $V$ . На моменты прихода замеров возможные интервалы значений  $\psi$  отмечены тонкими вертикальными отрезками. Диапазоны узлов по  $\psi$ , оставшихся после высечки, отмечены жирными отрезками для каждого из оставшихся узлов сетки по  $V$ . Квадратиками отмечены истинные

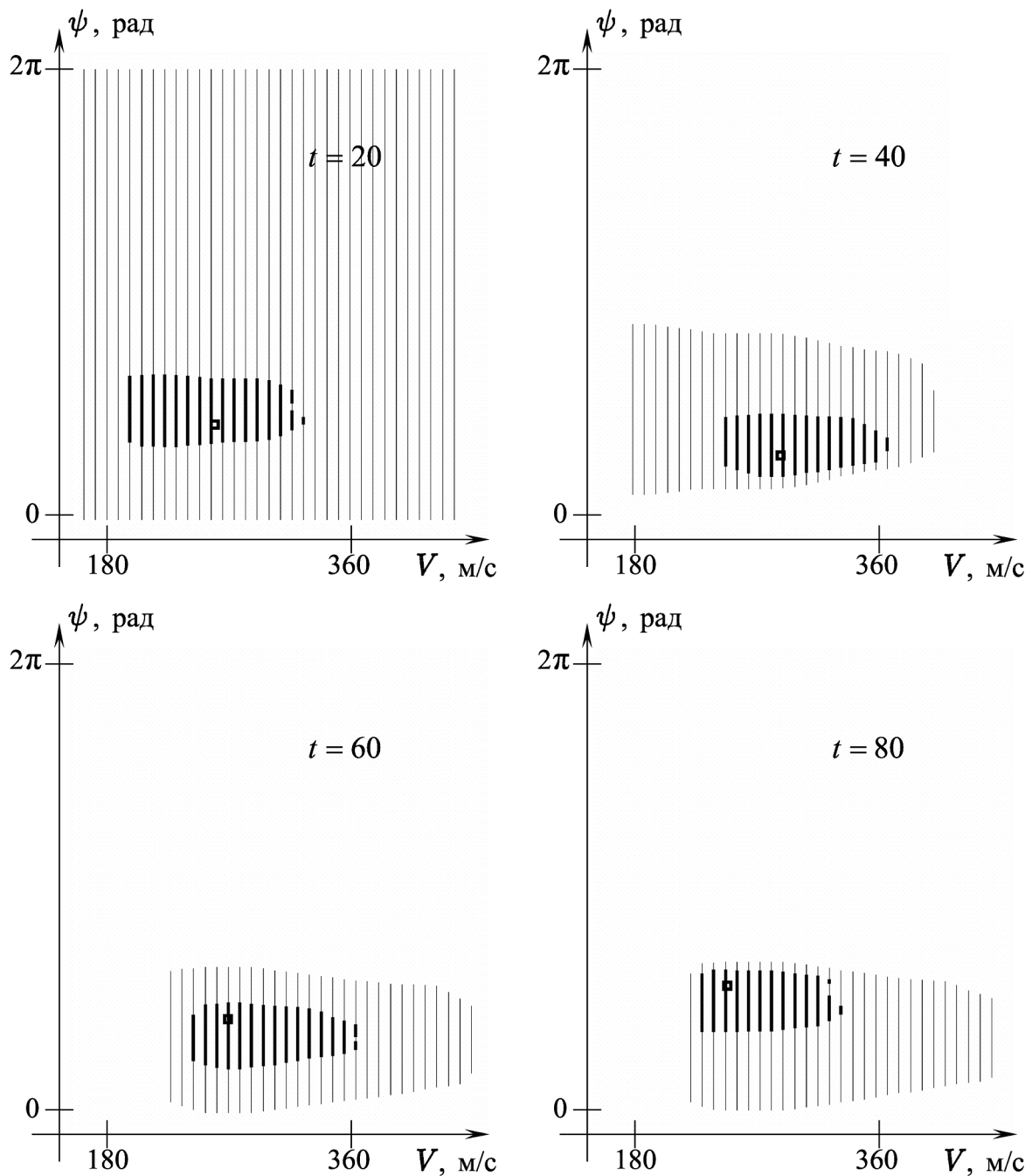


Рис. 5. Оценки ненаблюдаемых координат.

значения этих координат в соответствующие моменты времени.

Неопределённость по координате  $\psi$  на момент 20 с (рис. 5а) составляет  $2\pi$  рад. Соответствующий интервал неопределённости по скорости равен [163, 437 м/с], число узлов сетки по  $V$  равно 33. Заметим, что к моменту прихода замера размах интервала неопределённости по  $\psi$  такой же, как и в начальный момент, а из-за возможного ускорения  $w$  число узлов по  $V$  увеличивается с 22 в начальный момент до 33. Размах интервала неопределённости по скорости возрастает. Видно, что пришедший в момент 20 с замер (по наблюдаемым координатам  $x, y$ ) дает существенное уточнение информации по ненаблюдаемым координатам  $\psi, V$ .

Для других замеров (рис. 5б – рис. 5г) также происходит улучшение

оценки ненаблюдаемых координат. Отметим, что истинная точка (квадратик) всегда находится внутри оценённых областей.

Возможность оценивания ненаблюдаемых координат через замеры наблюдаемых принципиально обусловлена тем, что построение ИМ ведётся в полном фазовом пространстве.

## 6. Случай постоянной и известной величины скорости движения

В этом разделе рассмотрим случай, когда величина  $V$  скорости движения ВС постоянна и заранее известна. Динамика движения будет описываться системой дифференциальных уравнений

$$\begin{aligned} \dot{x} &= V \sin \psi, \\ \dot{y} &= V \cos \psi, \\ \dot{\psi} &= \frac{ku}{V}, \end{aligned} \quad (6.1)$$

где  $k = \text{const} > 0$ ,  $V = \text{const} > 0$ ,  $|u| \leq 1$ .

Поскольку величина скорости зафиксирована, то ИМ есть множество в трёхмерном пространстве  $\{(x, y, \psi)\}$ . Соответственно, МН – трёхмерное множество, цилиндрическое по координате  $\psi$ .

Для представления множеств  $\mathbf{I}(t)$  будем использовать сетку по  $\psi$ . Каждому узлу сетки будет соответствовать сечение  $\mathbf{I}_\psi(t)$  в виде выпуклого многоугольника.

Построение можно проводить по способу, изложенному в разделах 2 и 3. Однако уменьшение размерности с 4-х до 3-х позволяет использовать явные формулы при интегрировании системы (6.1) и плавающую сетку по  $\psi$ .

### 6.1. Схема построения информационного множества

Пересчет множества  $\mathbf{G}(t_i)$  в множество  $\mathbf{G}(t_{i+1})$  осуществляется следующим образом. Имеем на момент  $t_i$  набор узлов по  $\psi$ . Каждому узлу соответствует выпуклый многоугольник  $\mathbf{G}_\psi(t_i)$ . Используя управления  $u = -1, 0, 1$ , получим на момент  $t_{i+1}$  три узла новой сетки:  $\bar{\psi} = \psi + \Delta ku/V$ . Сечения, соответствующие этим узлам, имеют вид

$$\mathbf{G}_{\bar{\psi}}(t_{i+1}, u) = \begin{cases} \mathbf{G}_\psi(t_i) + \frac{V^2}{ku} (\cos \psi - \cos \bar{\psi}, \sin \bar{\psi} - \sin \psi), & \text{если } u = -1, 1; \\ \mathbf{G}_\psi(t_i) + \Delta V (\sin \psi, \cos \psi), & \text{если } u = 0. \end{cases}$$

При построении множества прогноза количество узлов возрастает в три раза. Однако, поскольку все узлы расположены в интервале  $[0, 2\pi]$ , какие-то из них оказываются близкими, что позволяет “объединять” их для ограничения общего количества сечений.

Здесь вместо каждой группы сечений с близкими значениями по  $\psi$  вводится одно сечение со средним значением  $\psi$ , представляющее собой выпуклую оболочку объединения исходных сечений, вычисляемую на векторах (3.5).

При поступлении в момент  $t^*$  замера формируется множество неопределённости  $H(t^*)$ . Оно цилиндрично по  $\psi$  и целиком определяется проекцией  $H^\#(t^*)$  на плоскость  $x, y$ .

Информационное множество  $I(t^*)$  получается путём пересечения каждого сечения  $G_\psi(t^*)$  множества прогноза  $G(t^*)$  с множеством  $H^\#(t^*)$ . Результаты непустых пересечений и составляют искомое множество  $I(t^*)$ .

## 6.2. Моделирование трехмерного варианта

Сначала приведем результаты, показывающие общую динамику изменения ИМ во времени. Были взяты параметры:  $V = 400$  м/с,  $k = 15$  м/с<sup>2</sup>,  $\Delta = 1$  с. Начальное информационное множество  $I(0)$  имело только одно  $\psi$ -сечение. Содержательно это означает, что в начальный момент времени известно направление движения. Задавалось движение истинной точки. Относительно этого движения формировались замеры. Около каждого замера строилось соответствующее множество неопределённости.

На рис. 6 показан фрагмент общей картины движения ИМ на промежутке времени 8–40 с в проекции на плоскость  $x, y$ . Замеры приходят в моменты 20 и 32 с. Соответствующие множества неопределённости  $H^\#$  – параллелограмм (а) и прямоугольник (б). Крестиками отмечены положения истинной точки. Заштрихованы сечения, наиболее близкие по  $\psi$  к соответствующим истинным значениям. В информационных множествах отображены не все сечения, а лишь каждое второе. ИМ показаны только на каждом четвёртом шаге по времени:  $I(8), I(12), I(16), \dots, I(40)$ .

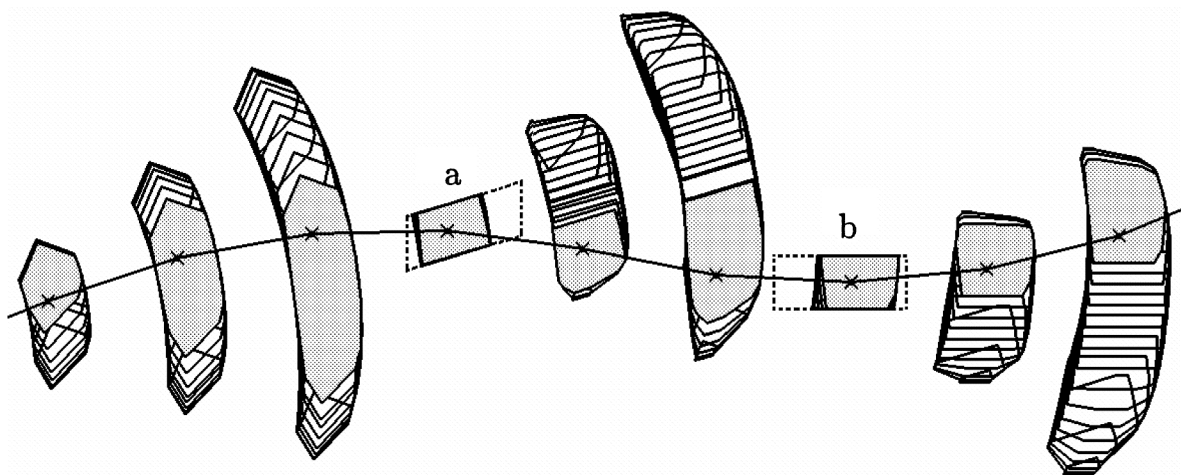


Рис. 6. Движение ИМ в проекции на плоскость  $x, y$ .

На рис. 7 более детально в трёхмерном пространстве изображены ИМ на моменты 20 и 32 с. Показаны множества до учёта замера (множество прогноза) и после учёта замера.

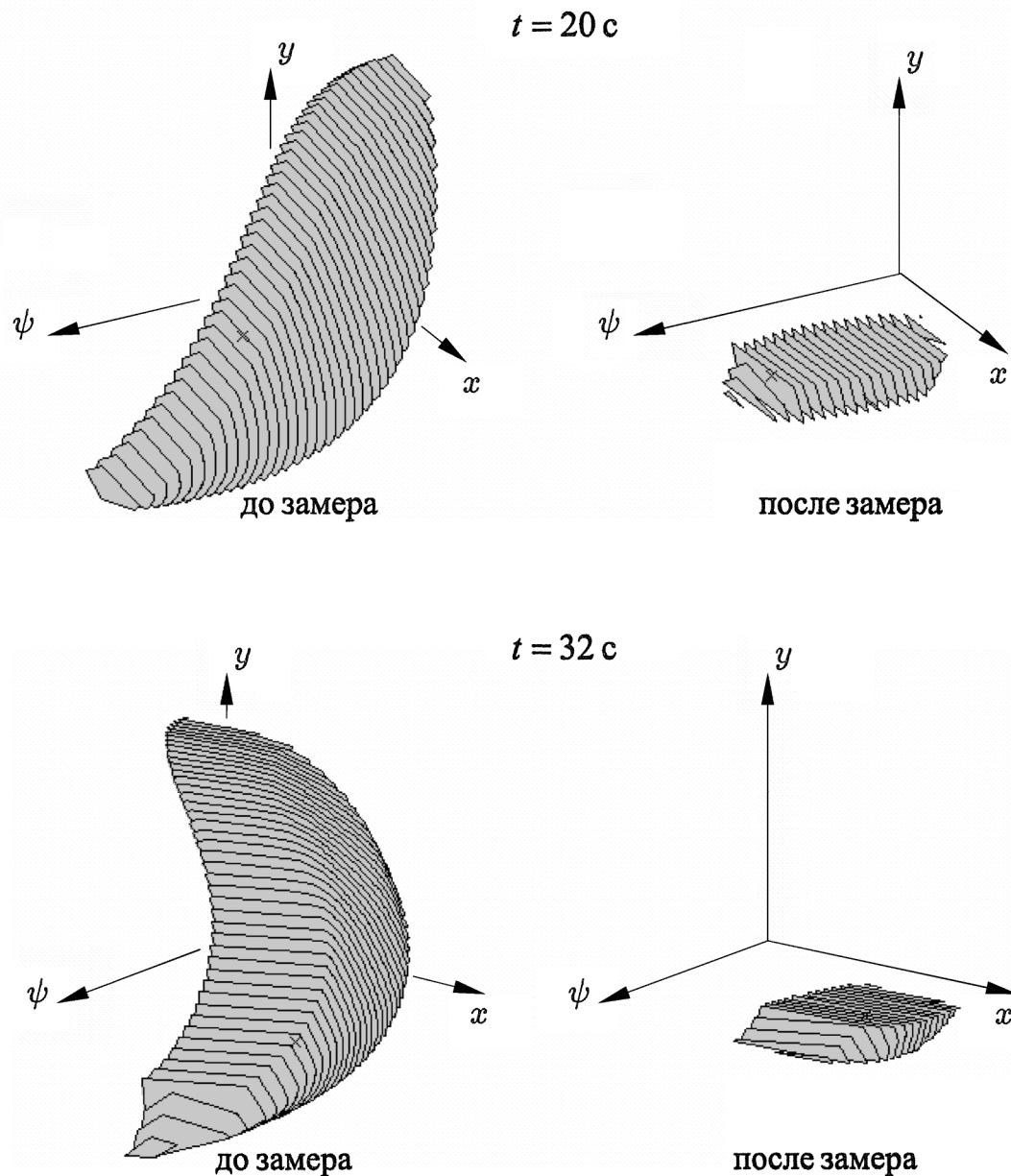


Рис. 7. Информационное множество до и после замера.

Результаты моделирования, где сечения ИМ задавались в виде прямоугольников со сторонами, ориентированными по осям  $x$ ,  $y$ , приведены на рис. 8. Построение ИМ осуществлялось на участке времени 80 с. Использовались следующие параметры:  $V = 200 \text{ м/с}$ ,  $k = 5 \text{ м/с}^2$ ,  $\Delta = 1 \text{ с}$ . Замеры поступали с интервалом 20 с, соответствующие МН имели форму квадрата со стороной 400 м. Начальное ИМ формировалось по МН начального замера и состояло из 360 одинаковых  $\psi$ -сечений в интервале  $[0, 2\pi]$ . Траектория истинного движения имела два разворота в разные стороны. МН поступающих замеров отмечены пунктиром. Показаны проекции ИМ на плоскость  $x, y$  для моментов 5, 12, 27, 34, 47, 54, 67, 74 с. Проекция начального ИМ совпадает с МН замера в начальный момент. До прихода второго замера неопределённость по  $\psi$  совпадает с интервалом  $[0, 2\pi]$ .

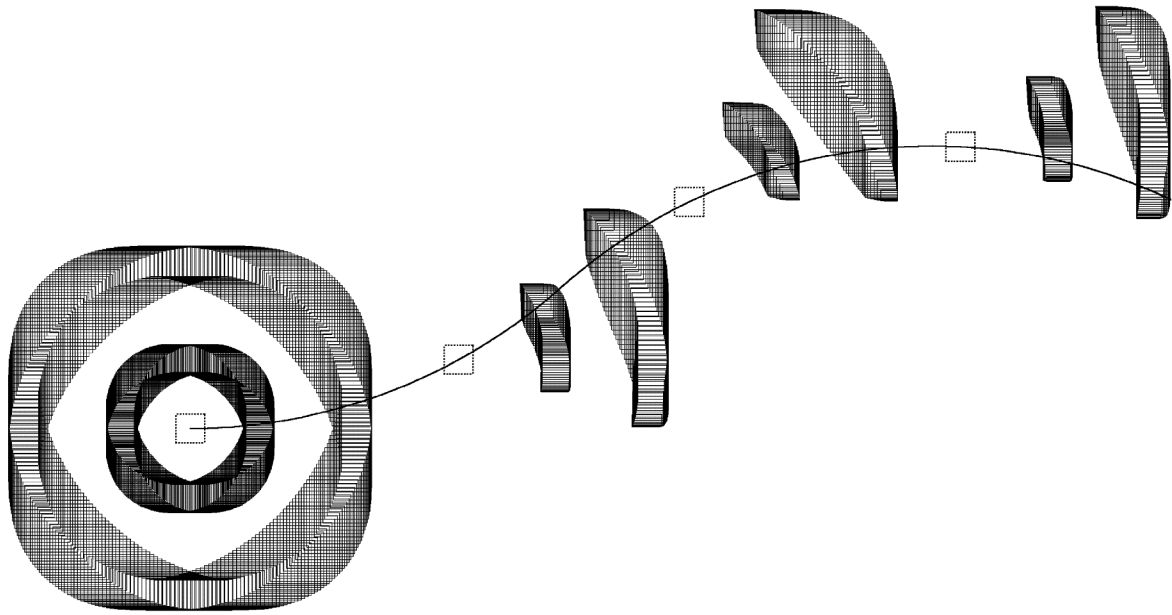


Рис. 8. Динамика изменения ИМ в проекции на плоскость  $x, y$ .

### 6.3. Сравнение с точными построениями

В работе [15] получены формулы, описывающие границу проекции на плоскость  $x, y$  множества достижимости системы (6.1) в фиксированный момент времени. При этом начальное множество в начальный момент времени  $t_*$  предполагается точечным, т.е. оговорено геометрическое положение  $(x_*, y_*)$  и направление  $\psi_*$ . Обозначим проекцию на плоскость  $x, y$  такого множества достижимости символом  $G^\#$ . Проекцию на плоскость  $x, y$  множества прогноза, строящегося по предлагаемым в работе алгоритмам, обозначим  $\mathbf{G}^\#$ . Проведем сравнение множеств  $G^\#$  и  $\mathbf{G}^\#$ . Такое сравнение покажет характер огрубления, которое возникает за счет применения операции овыпукления при построении сечений ИМ.

Не теряя общности, считаем начальное геометрическое положение равным нулю, а начальный угол равным  $\pi/2$ . На рис. 9 изображены множества  $G^\#$  и  $\mathbf{G}^\#$ , построенные для моментов  $t_i = i(\pi/2)(V/k)$ ,  $i = 1, 2, 3, 4$ . Данные моменты соответствуют времени поворота вектора скорости на угол  $i(\pi/2)$  при движении с максимальным боковым ускорением. Для каждого момента времени использовался свой масштаб изображения. Траектории движения с экстремальными управлениями  $u = -1$  и  $u = 1$  представляют собой окружности радиусом  $V^2/k$ . Вектор начальной скорости показан стрелочкой. Множества  $G^\#$  выделены контуром и темной заливкой, а множества  $\mathbf{G}^\#$  – светлой заливкой. Множества  $\mathbf{G}^\#$  построены с мелким шагом по времени и при числе нормалей в многоугольниках  $m = 64$ . Использовалась достаточно мелкая сетка по  $\psi$  в промежутке  $[-2\pi, 2\pi]$ . Видно, что “внешние” границы множеств  $G^\#$  и  $\mathbf{G}^\#$  практически совпадают, а “внутренние” отличаются. Имеет место вложение  $G^\# \subset \mathbf{G}^\#$ .

Рис. 10 показывает зависимость точности построения от количества нормалей. Построения сделаны для момента  $(5\pi/4)(V/k)$  при числе нор-

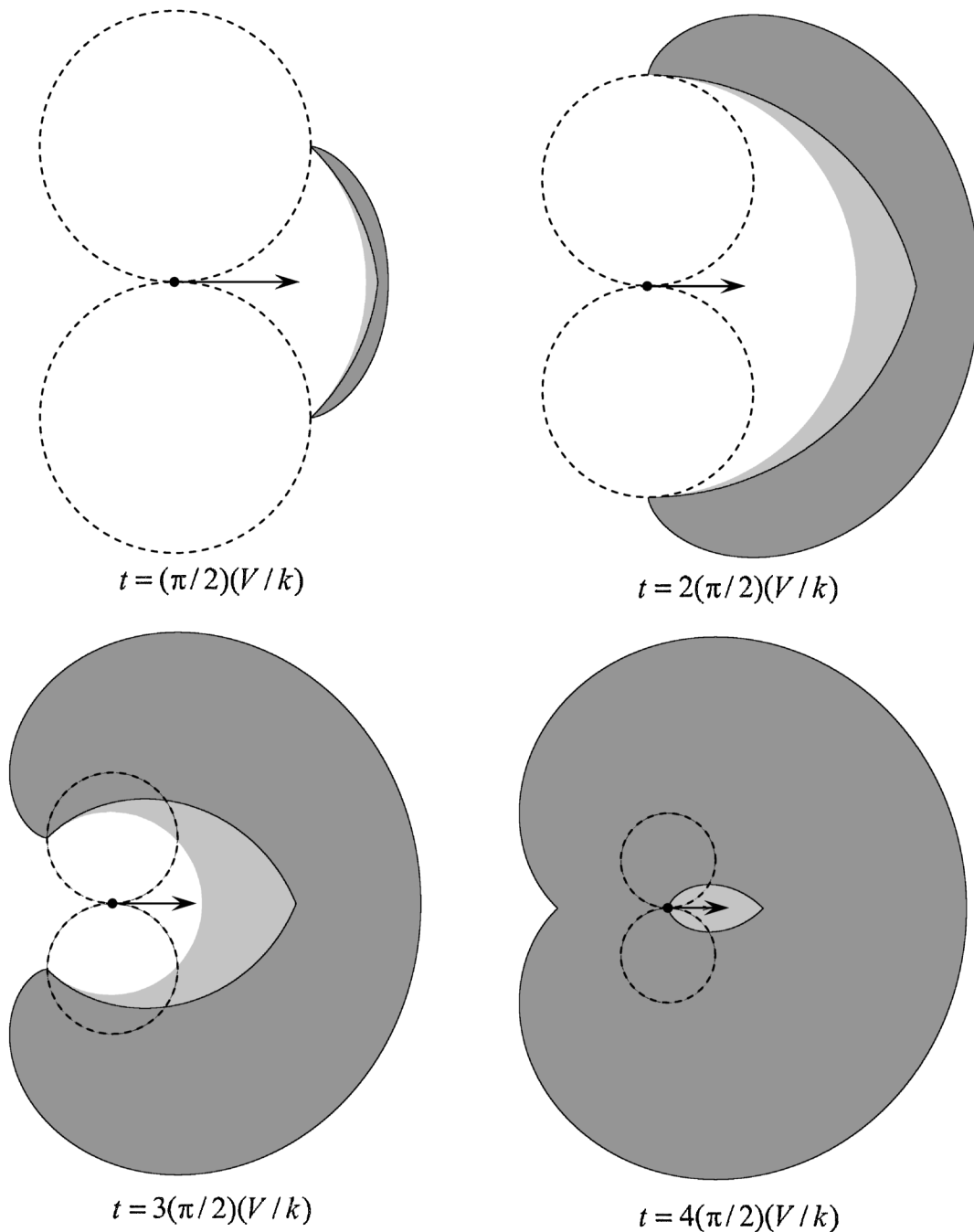


Рис. 9. Сравнение с точным множеством достижимости.

малей  $m = 12$  и  $m = 24$ . При использовании  $m$  больше, чем 24, картина существенно не меняется.

Подчеркнем, что граница множества  $G^\#$  описывается явными формулами лишь при точечном начальном множестве. В задачах с неполной информацией приходится строить множество прогноза от весьма произвольного начального множества. Более того, построения приходится вести в трёхмерном пространстве  $\{(x, y, \psi)\}$  в случае известной величины скорости  $V$  и в четырёхмерном пространстве  $\{(x, y, \psi, V)\}$ , когда величина скорости неизвестна. Описанный в данной работе алгоритм построения множества прогноза хотя и не дает точного множества достижимости, но оценивает его сверху и является весьма простым для реализации.

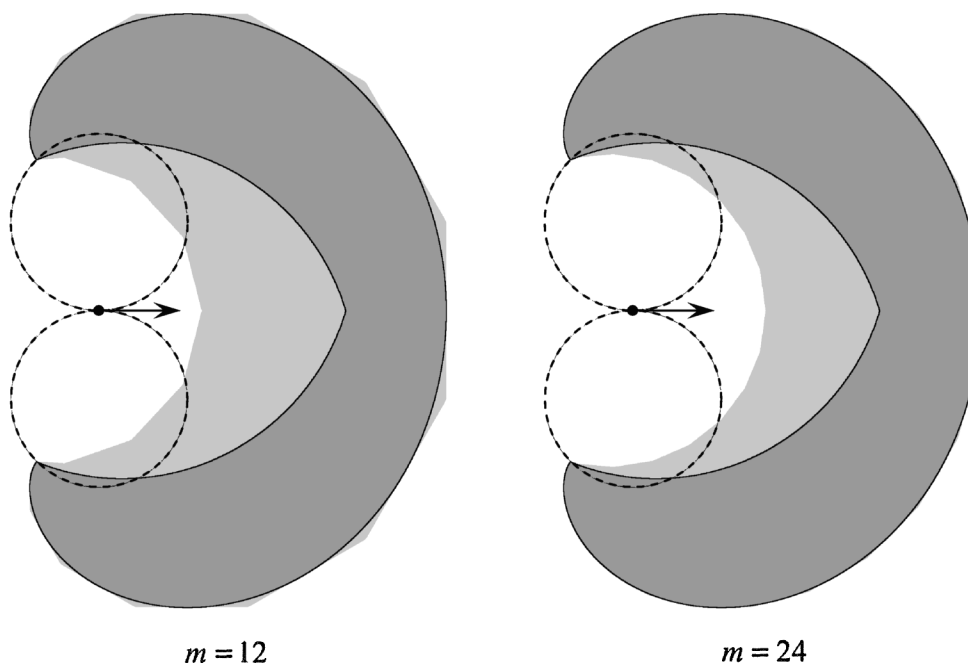


Рис. 10. Влияние числа нормалей на точность построений.

Поступила 22.10.99

#### СПИСОК ЦИТИРОВАННОЙ ЛИТЕРАТУРЫ

- [1] Брамер К., Зиффлинг Г. Фильтр Калмана-Бьюси. М.: Наука, 1982.
- [2] Справочник по теории автоматического управления / Под ред. А.А.Красовского. М.: Наука, 1987.
- [3] Красовский Н.Н., Субботин А.И. Позиционные дифференциальные игры. М.: Наука, 1974.
- [4] Куржанский А.В. Управление и наблюдение в условиях неопределённости. М.: Наука, 1977.
- [5] Черноусько Ф.Л., Меликян А.А. Игровые задачи управления и поиска. М.: Наука, 1978.
- [6] Milanese M., Norton J., Piet-Lahanier H., Walter E. (editors). Bounding Approaches to System Identification. London: Plenum Press, 1996.
- [7] Kurzhanski A.V., Valyi I. Ellipsoidal Calculus for Estimation and Control. Boston: Birkhäuser, 1997.
- [8] Кумков С.И., Пацко В.С. Модельная задача импульсного управления с неполной информацией / Тр. Ин-та математики и механики УрО РАН. Екатеринбург, 1992. Т. 1. С. 106–121.
- [9] Кумков С.И., Пацко В.С. Информационные множества в задаче импульсного управления // Автоматика и телемеханика, 1997. №7. С. 195–207.
- [10] Емельянов Д.Д. Оптимальное импульсное управление информационным множеством в задаче наведения по неполным данным // Автоматика и телемеханика, 1998. №1. С. 35–43.
- [11] Айзекс Р. Дифференциальные игры. М.: Мир, 1967.
- [12] Хамса М.Х., Колас И., Рунгальдер В. Оптимальные по быстродействию траектории полёта в задаче преследования // Упр. косм. аппаратами и кораблями. М.: Наука, 1971. С. 410–418.
- [13] Pecsvaradi T. Optimal Horizontal Guidance Law for Aircraft in the Terminal Area // IEEE Trans. Automat. Control. 1972. Vol. A-17, No. 6. P. 763–772.
- [14] Вердышев Ю.И. Синтез оптимального по быстродействию управления для одной нелинейной системы четвёртого порядка // Прикл. математика и механика, 1975. Т. 39, вып. 6. С. 985–994.
- [15] Вердышев Ю.И. Синтез оптимального управления для одной системы 3-го порядка / Вопросы анализа нелинейных систем автомат. упр. / ИММ УНЦ АН СССР. Свердловск, 1973. С. 91–101.